



CENTRE DE RÉFÉRENCE
DES PATHOLOGIES
PLAQUETTAIRES



Syndrome de Noonan

Réunion CRPP Marseille 28 NOVEMBRE 2022

Pr. E THOMAS

S VOISIN C

Garcia B payrastre

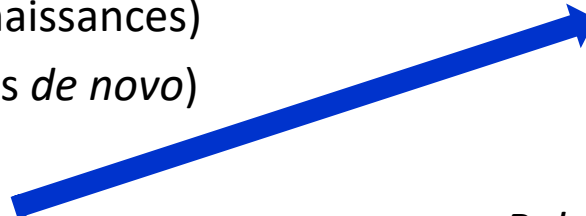
CR des anomalies du développement et syndromes
malformatifs Toulouse

CRPP Toulouse

Le syndrome de Noonan

- Maladie génétique fréquente (1/2000 naissances)
- Autosomique dominante (2/3 mutations *de novo*)

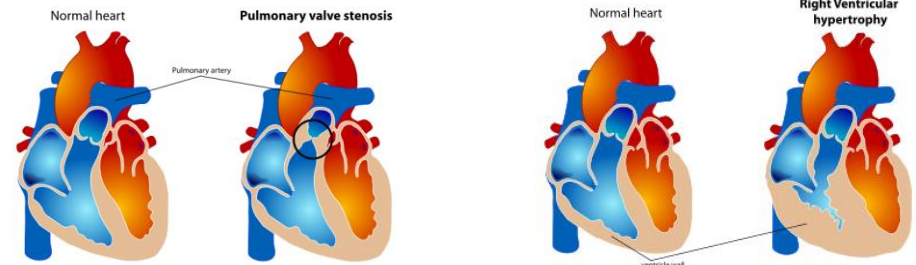
1. Particularités cranio-faciales



Roberts et al, Lancet. 2013

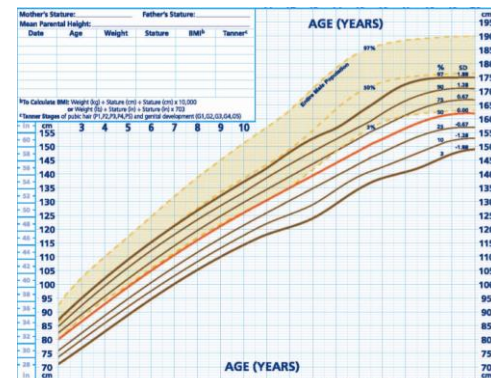
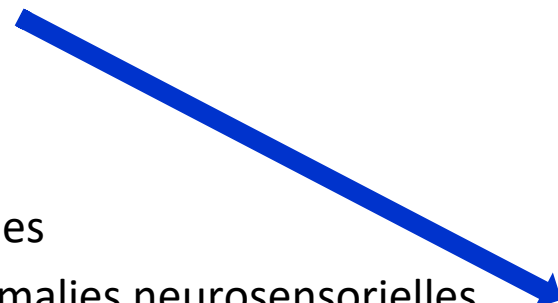
2. Malformations cardiaques (80%)

- Sténose des valves pulmonaires (50-60%)
- Cardiomyopathie hypertrophique (20%)



3. Retard de taille (50 à 70%)

- Nombreuses autres atteintes :
 - Cryptorchidie / infertilité
 - Anomalies musculo-squelettiques
 - Retard des apprentissages, anomalies neurosensorielles
 - Troubles de l'hémostase, prédisposition tumorale

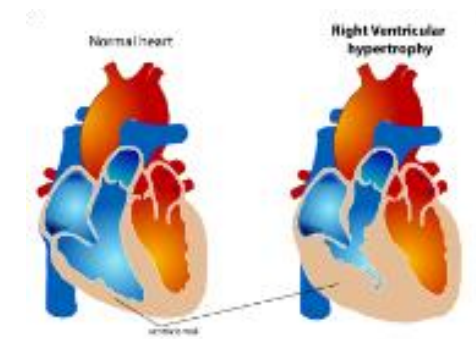
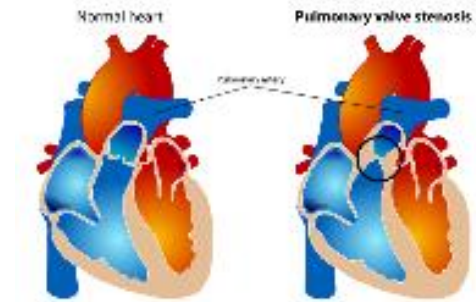


Roberts et al, Lancet. 2013; Tajan et al, Endocr Rev. 2018

Cardiopathie congénitale

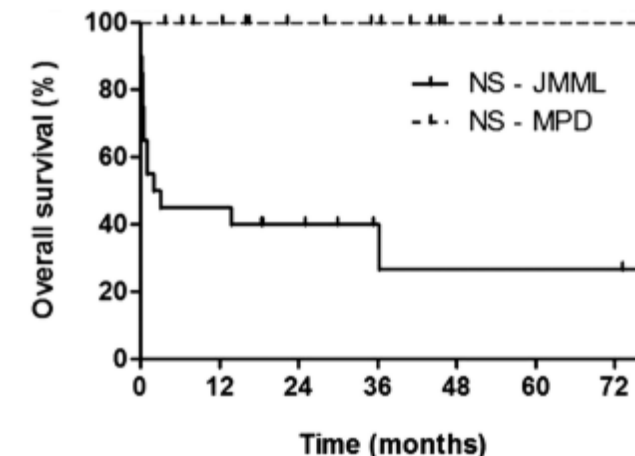
Chez 80% des patients

- Sténose des valves pulmonaires (50-60%)
 - Souvent présente à la naissance avec amélioration spontanée avec l'âge
 - Chirurgie chez 1/3 des patients
- Cardiomyopathie hypertrophique (20%)
 - Peut apparaître de la période pré-natale à l'enfance tardive
 - Modérée ou sévère
 - Décès de 25% des patients / défaillance cardiaque dans les premiers mois de vie
- Communication inter-auriculaire (10%)
- Plus rarement :
 - CIV, canal atrio-ventriculaire, valvulopathie mitrale, sténose artère pulmonaire, sténose aortique, coarctation de l'aorte, anomalies des artères coronaires ...



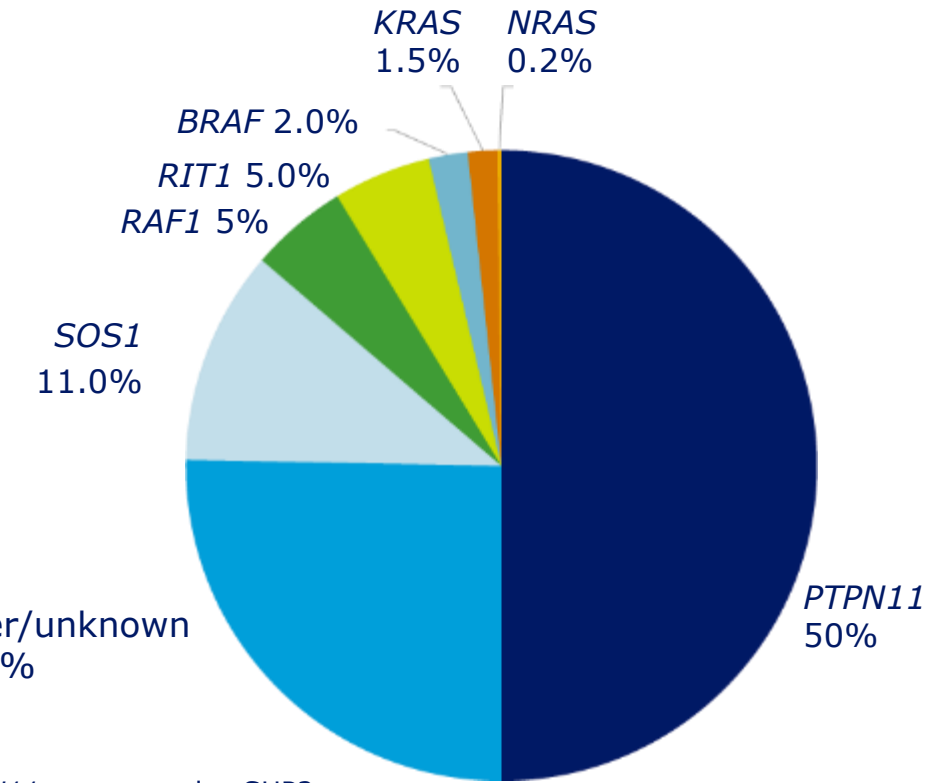
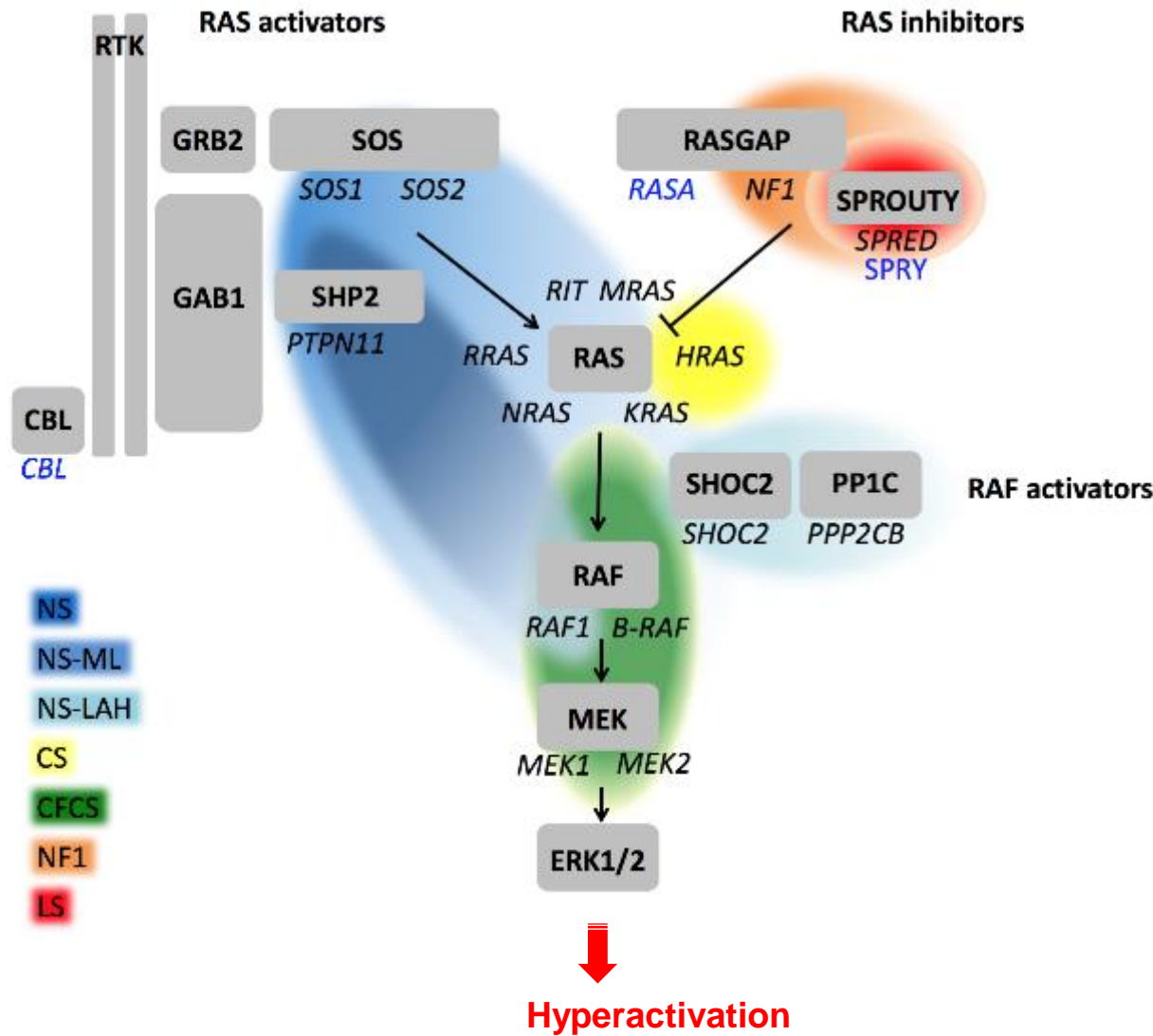
Anomalies hématologiques

- Ecchymoses faciles et saignements / dysfonction plaquetttaire
- Atteinte myéloproliférative (5.6%)
 - Splénomégalie, monocytose
 - Souvent bénigne et transitoire
- Rarement leucémie myélomonocytaire juvénile (LMMJ) (3%)
 - Atteinte multiviscérale néonatale sévère
 - 50% décès dans les premiers mois de vie
- Risque multiplié par 8 de cancer pédiatrique (LMMJ, LAL, tumeur cérébrale)



Strullu et al, J Med Genet. 2014

Les Rasopathies



- Diagnostic génétique chez ≈ 80% des patients SN (le plus souvent *PTPN11*, *SOS1*, *RAF1* and *RIT1*)

Tajan et al, Endocrine Reviews. 2018

D'après Pr T Edouard

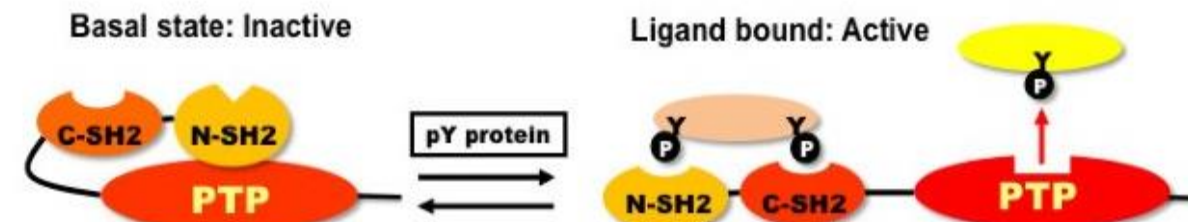
DIU endocrinologie pédiatrique : syndrome de Noonan

Catalytic dysregulation of SHP2 leading to Noonan syndromes affects platelet signaling and functions

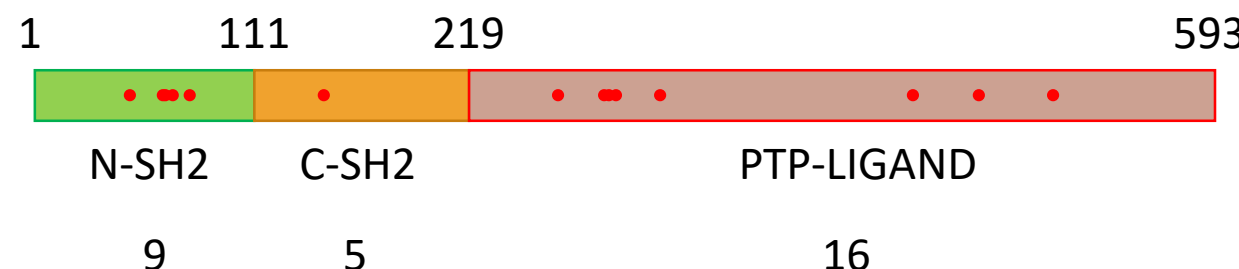
Marie Bellio, Cédric Garcia, Thomas Edouard, Sophie Voisin, Benjamin G. Neel, Cendrine Cabou, Philippe Valet, Jun Mori, Alexandra Mazharian, Yotis A. Senis, Armelle Yart, Bernard Payrastre, Sonia Severin

Blood (2019) 134 (25): 2304–2317.

| | Nb | Propositus | Age médian |
|------------------|-------------------|------------|-------------|
| N-SH2 | 9 | 9 | 10,3 |
| C-SH2 | 7 | 5 | 10,6 |
| PTPN11 | PTP-LIGAND | 17 | 16 |
| EC | 1 | 1 | |
| total | 34 | 31 | |
| SNLM | 5 | 4 | 12,2 |
| SOS1 | 3 | 2 | |
| SHOC2 | 1 | | |
| Autres SN | | | |
| KRAS | 1 | | |
| LZTR1 | 1 | | |
| NF1 | 1 | | |
| TOTAL | 46 | 41 | 11,9 |



Qiu, W., Wang, X., Romanov, V. et al. Structural insights into Noonan/LEOPARD syndrome-related mutants of protein-tyrosine phosphatase SHP2 (PTPN11). BMC Struct Biol 14, 10 (2014).



Caractéristiques des 30 enfants NS étudiés :



| | PTPN11 NS | | | PTPN11 NSML (n=3) | | Healthy controls range values |
|------------------|--------------------|--------------|-------------------|-------------------|-----------------------|-------------------------------|
| Gender | 11 girls + 15 boys | | | 2 girls + 1 boy | | |
| | n | mean ± SD | median (range) | mean ± SD | median (range) | |
| Age (years) | 26 | 11.9 ± 4.2 | 11.9 (4.1-18) | 12.4 ± 5.4 | 12.2 (7-17.8) | |
| Height (z-score) | 26 | -1.71 ± 0.81 | -1.74 (-3.53-0.5) | -0.64 ± 0.34 | -0.58 (-1,00-(-0,33)) | |
| BMI (z-score) | 26 | -0.30 ± 1.08 | -0.48 (-2.56-2) | -0.04 ± 0.39 | 0.11 (-0.49-0.25) | |
| ISHT-BAT score | | 2,9 ± 2,5 | 3 (0-9) | 3,3 ± 4,9 | 1 (0-9) | <3 |

Symptômes hémorragiques pour 7 enfants PTPN11 NS

ecchymoses voire hématomes post-traumatiques
ménorragies primaires

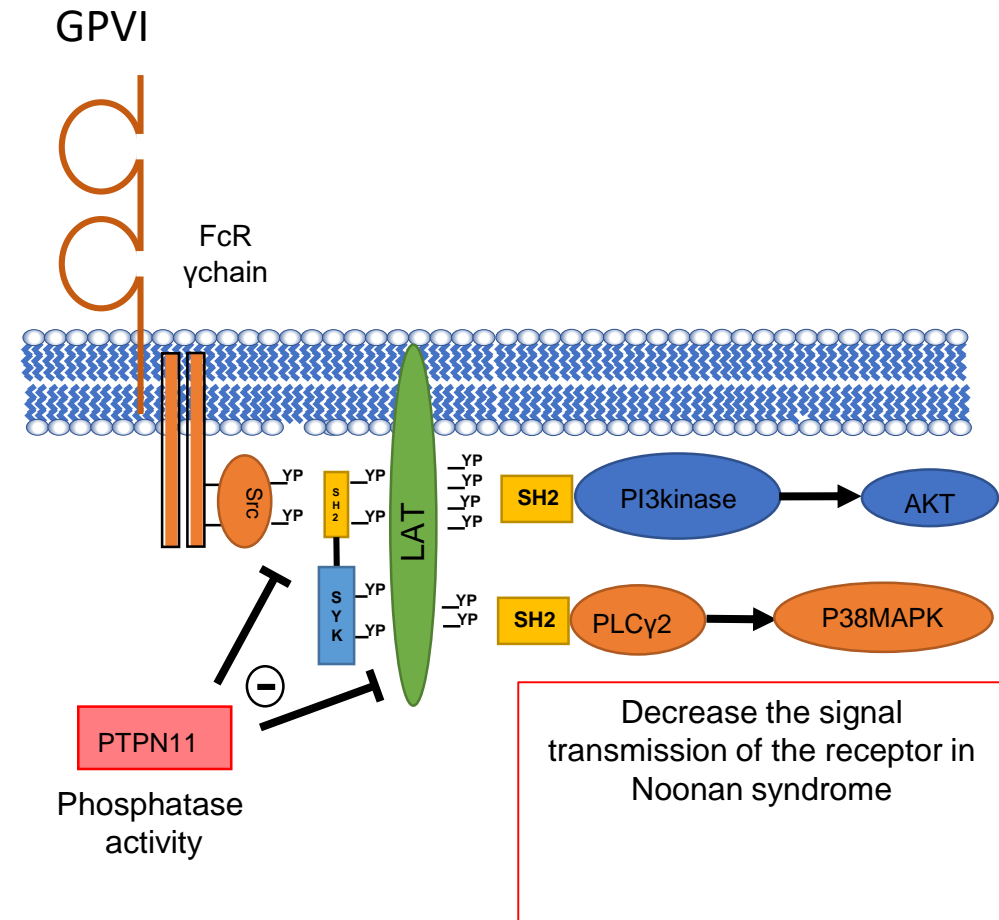
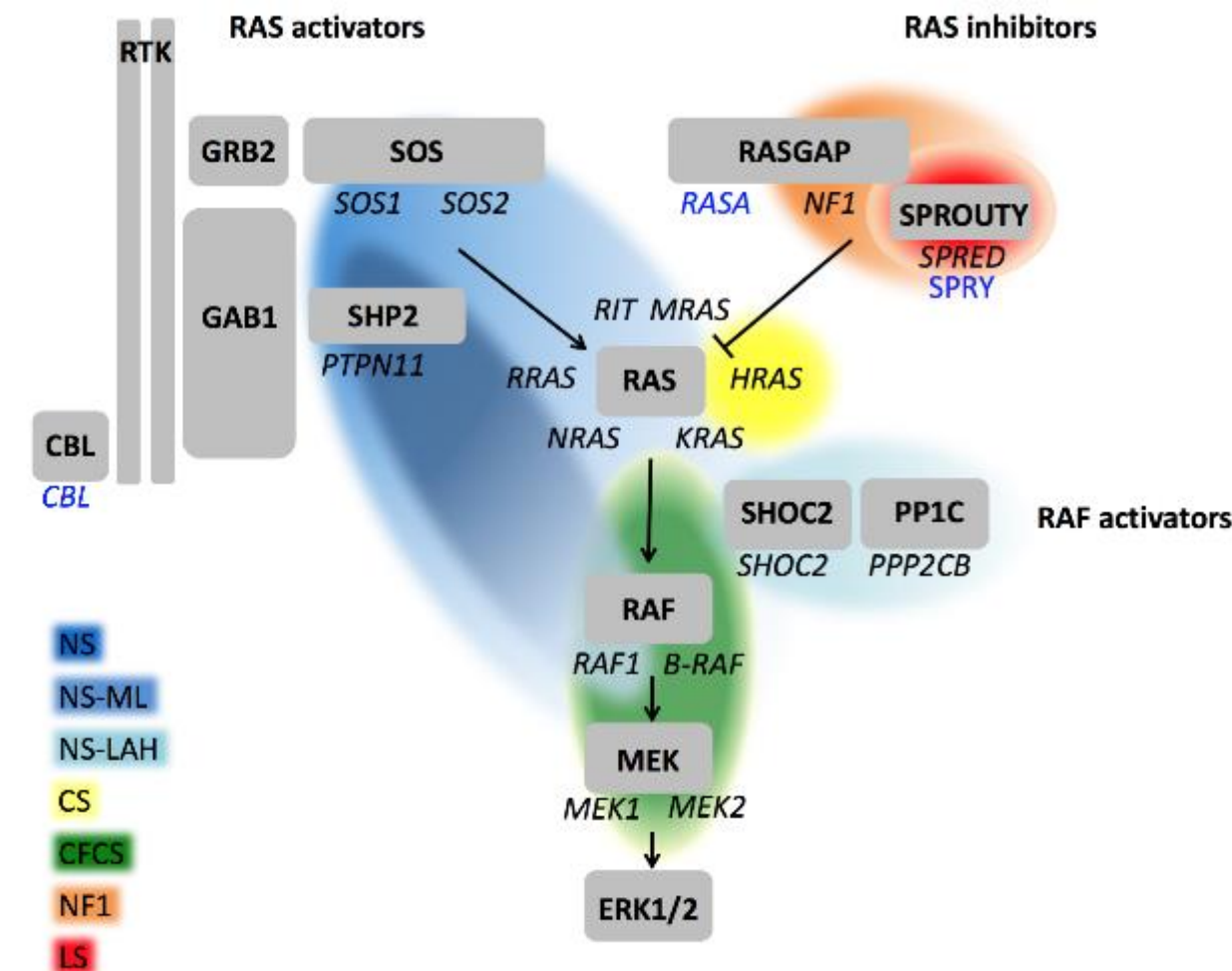
Hémorragies lors d'actes invasifs : avulsions dentaires, pose implant cochléaire

Hématome paroi duodénale post-traumatique

Caractéristiques des 30 enfants NS étudiés :

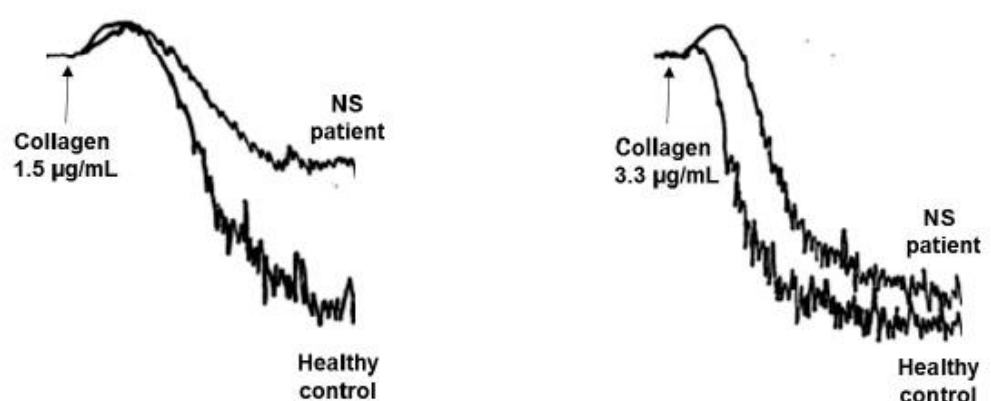
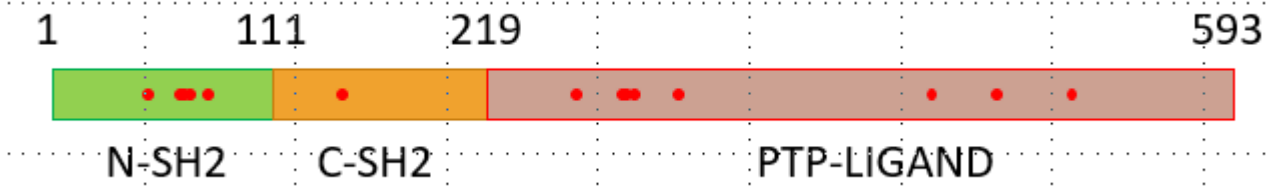
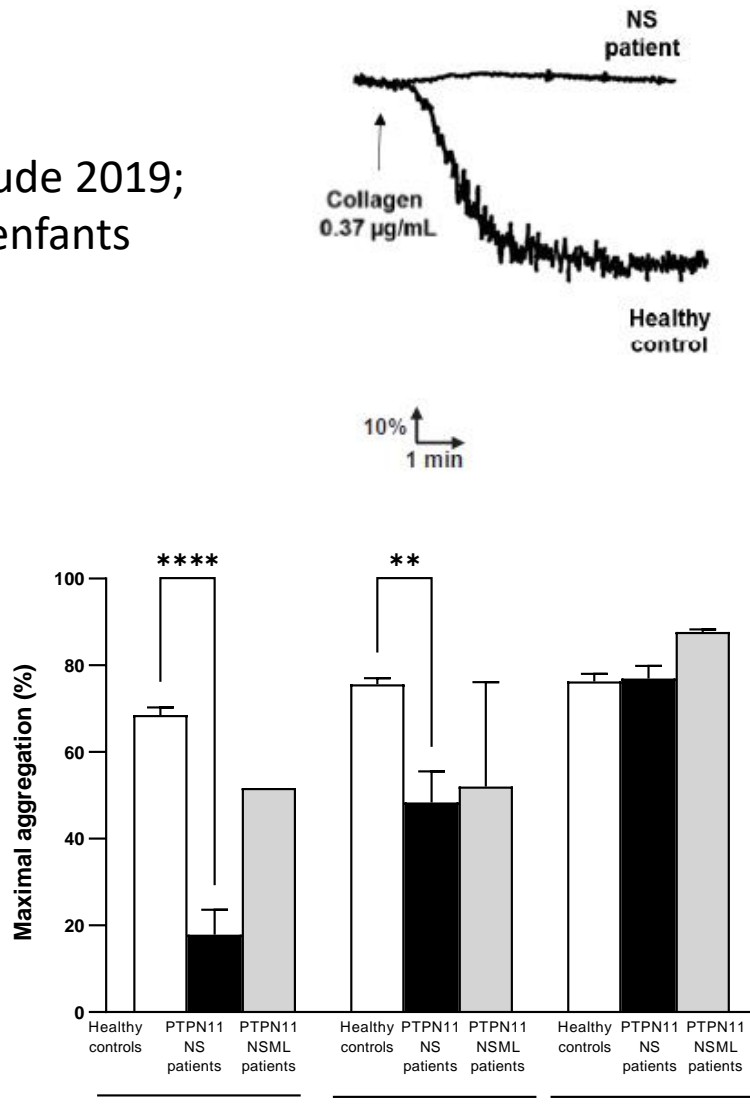
| | PTPN11 NS | | | PTPN11 NSML (n=3) | | Healthy controls range values |
|----------------------|--------------------|--------------|-------------------------------|-------------------|-----------------------|-------------------------------|
| Gender | 11 girls + 15 boys | | 2 girls + 1 boy | | | |
| | n | mean ± SD | median (range) | mean ± SD | median (range) | |
| Age (years) | 26 | 11.9 ± 4.2 | 11.9 (4.1-18) | 12.4 ± 5.4 | 12.2 (7-17.8) | |
| Height (z-score) | 26 | -1.71 ± 0.81 | -1.74 (-3.53-0.5) | -0.64 ± 0.34 | -0.58 (-1,00-(-0,33)) | |
| BMI (z-score) | 26 | -0.30 ± 1.08 | -0.48 (-2.56-2) | -0.04 ± 0.39 | 0.11 (-0.49-0.25) | |
| ISHT-BAT score | | 2,9 ± 2,5 | 3 (0-9) | 3,3 ± 4,9 | 1 (0-9) | <3 |
| Platelet count (G/L) | 27 | 236,3 ± 66,6 | 239,5 (58-372) | 291,7 ± 82.7 | 328 (197-350) | 150-450 |
| VMP (fL) | 27 | 9.7 ± 1.1 | 9.8 (6.4-12) | 10.9 ± 1.2 | 10.5 (10-12.3) | 8.5-12 |
| PR (%) | 27 | 82 ± 12 | 83 (49-100) | 88.7 ± 10.1 | 90 (78-98) | 70-100 |
| aPTT ratio | 27 | 1.24 ± 0.17 | 1.19 (1,1-1.87) | 1.1 ± 0.1 | 1.1 (1.08-1.20) | <1.2 |
| Fibrinogen (g/L) | 26 | 2.5 ± 0.4 | 2.4 (1.6-3.3) | 3.2 ± 0.8 | 3.3 (2.3-3.9) | 2.0-4.0 |
| VWF:GPIBR (%) | 26 | 67,7 | Pas d'anomalie de l'hémostase | ± 31.2 | 44 (40-96) | 50-160 |
| VWF:Ag (%) | 26 | 78,5 ± 20,0 | //,0 (20-114) | 85,0 ± 14,8 | 58 (55-82) | 50-120 |
| FII (%) | 13 | 80,6 ± 12,7 | 81 (59-101) | - | - | 70-120 |
| FV (%) | 13 | 76,8 ± 17,4 | 75 (52-106) | - | - | 70-120 |
| FVII (%) | 5 | 90,8 ± 11,1 | 92 (78-103) | - | - | 55-120 |
| FX (%) | 10 | 73,5 ± 13,2 | 74,0 (46-95) | - | - | 70-120 |
| FVIII (%) | 25 | 94,6 ± 30,2 | 92,0 (39-149) | 104.7 ± 16.3 | 112 (86-116) | 60-150 |
| FIX (%) | 17 | 79,2 ± 18,5 | 79 (58-127) | 92.0 ± 4.4 | 90 (89-97) | 60-150 |
| FXI (%) | 17 | 78,6 ± 17,8 | 82 (48-105) | 87.0 ± 7.2 | 89 (79-93) | 60-150 |
| FXII (%) | 2 | 39 ± 35,4 | 39 (14-64) | | | 60-150 |
| TO ADP (s) | 17 | 134,8 ± 44,3 | 120 (83-256) | 113.0 ± 35.0 | 113 (78-148) | 60-120 |

Explorations plaquettaires

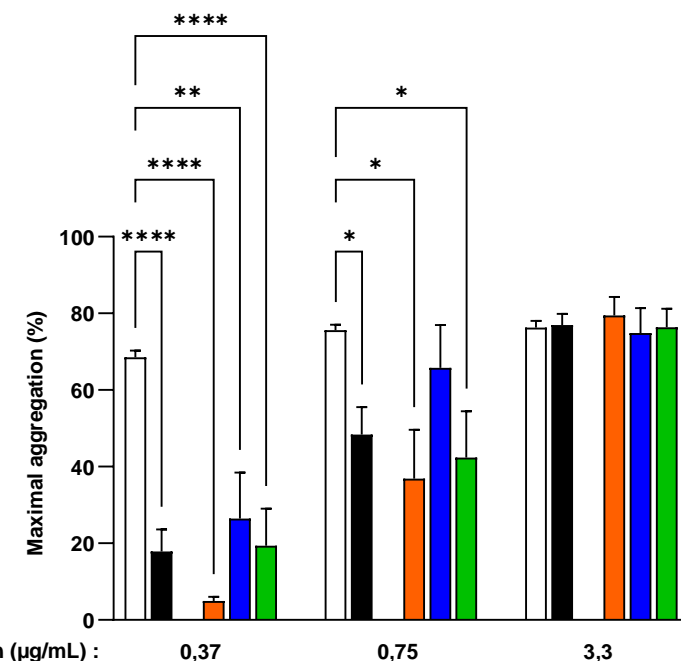


Agrégation plaquettaire collagène Horm

Étude 2019;
6 enfants



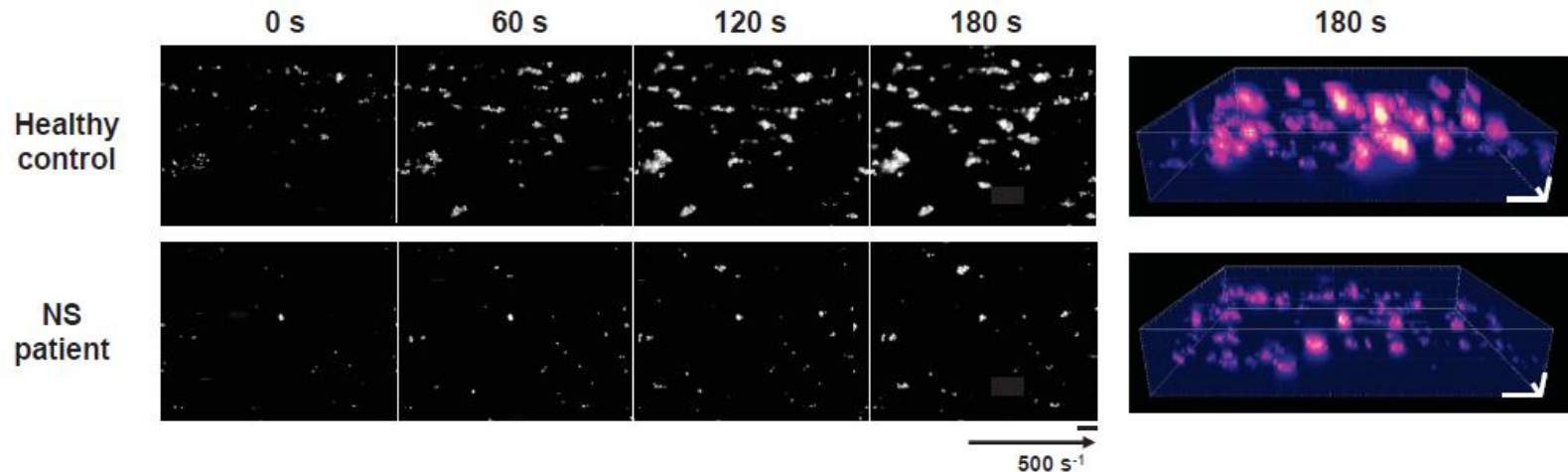
- Healthy controls
- PTPN11-NS patients
- PTPN11-NSML patients



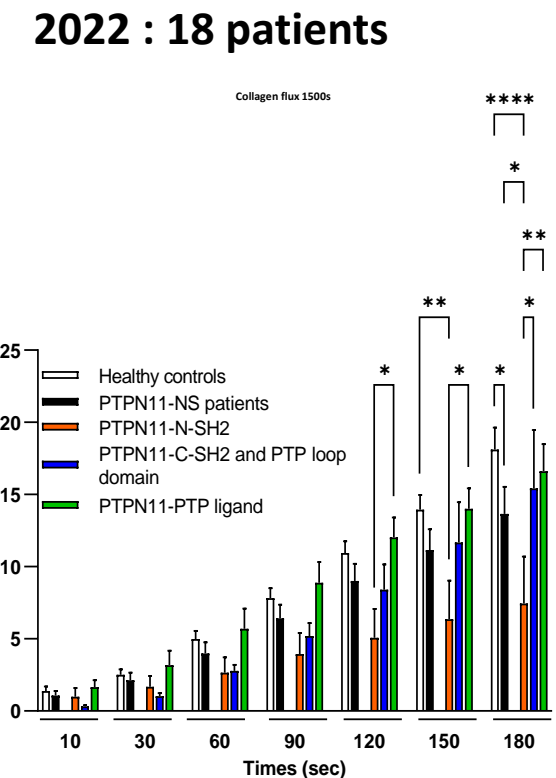
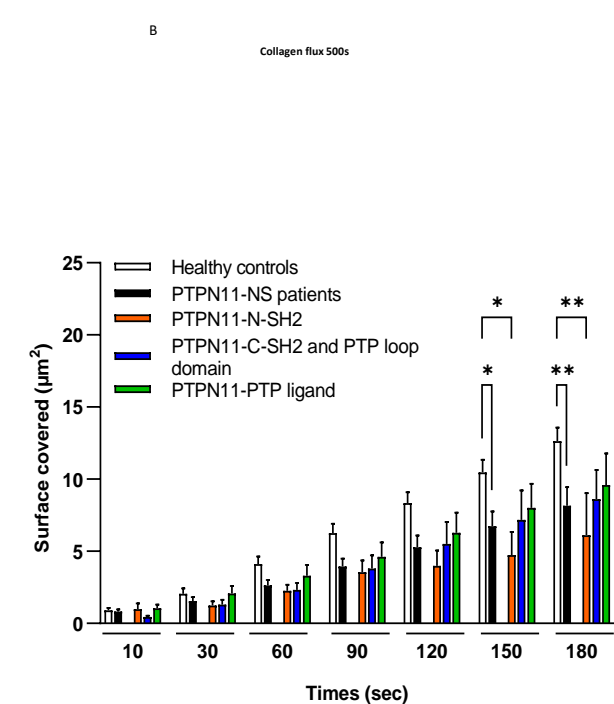
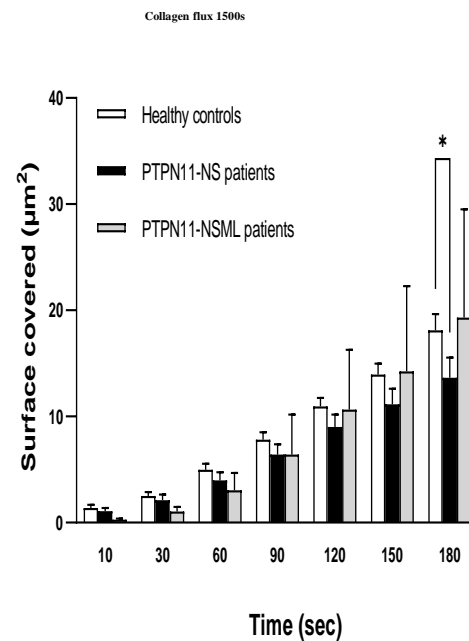
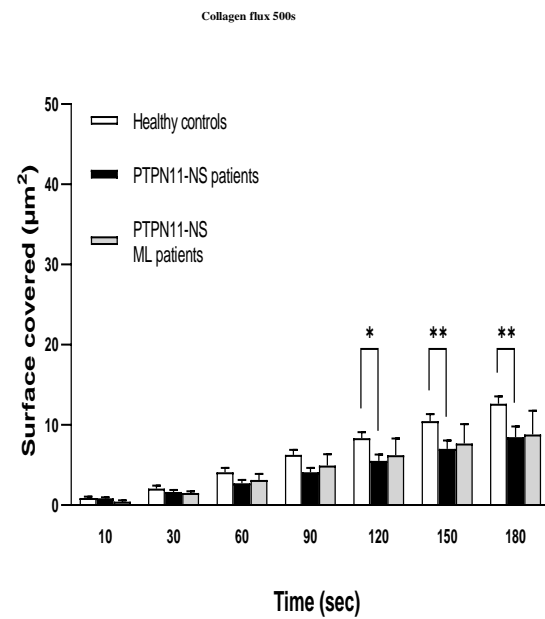
20 PTPN11-NS

- Healthy controls
- PTPN11-NS patients
- PTPN11-N-SH2
- PTPN11-C-SH2 and PTP loop domain
- PTPN11-PTP ligand

Microscopie en flux (cellix Vena8 Fluoro + biochips)



2019 : 4 patients

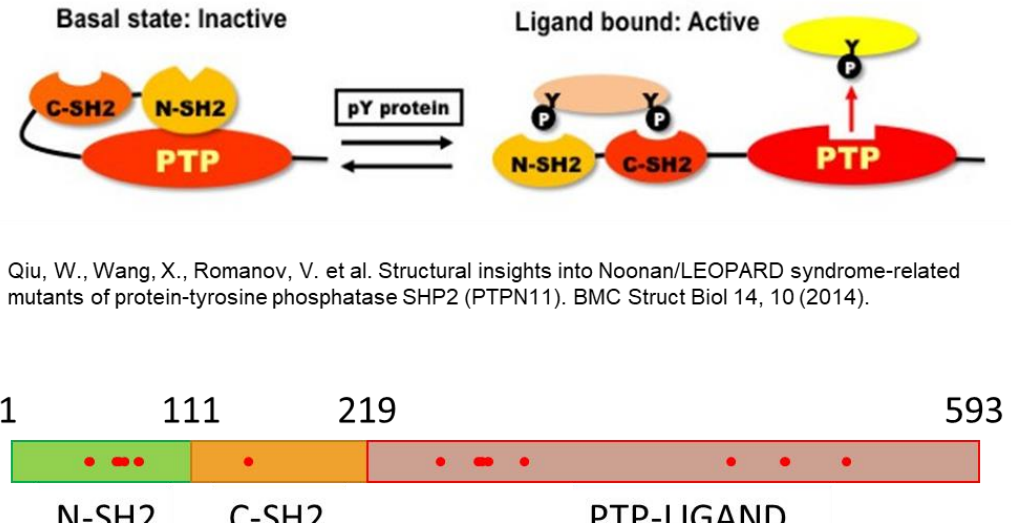


Anomalies plaquettaires

Prédominent dans le groupe N-SH2

Mais existent également dans les autres groupes

Relation phénotype – génotype est-elle envisageable



Projet pour centres du CRPP

- Registre patients
- Comparaison des explorations plaquettaires (ME,...)
- Clinique
 - Faut-il envisager un suivi en hémostase de ces enfants, systématique, en préopératoire, puberté ?
 - Risque hémorragique particuliers de certaines chirurgies?
 - Carte CRPP

En relation avec les équipes de pédiatrie (Pr E THOMAS), équipes INSERM (A YRIART Restore Toulouse)



AnDDI-Rares



Sophie VOISIN

Cédric GARCIA

Bernard PAYRASTRE

Agnès RIBES

CRPP Toulouse

Laboratoire hématologie CHU Toulouse

Inserm/UPS UMR 1297 - I2MC Toulouse

Pr Thomas EDOUARD

Unité d'Endocrinologie, obésité, maladies osseuses, Génétique
et Gynécologie pédiatrique

Centre de référence des anomalies du développement et
syndromes malformatifs

Hôpital des Enfants, CHU de Toulouse

INSERM UMR 1301, Institut RESTORE, Université de Toulouse

Armelle YRIART

INSERM UMR 1301, Institut RESTORE Toulouse

Céline SAINT-LAURENT

CHU Toulouse

Alessandro SOLA

CHU Toulouse

Inserm



Inserm UPS